

ΠΤΥΧΙΑΚΗ ΕΡΓΑΣΙΑ

ΣΧΟΛΗ: Πολιτικών

ΤΜΗΜΑ: Έργων Υποδομής

ΕΙΣΗΓΗΤΗΣ: Μαντάς Παναγιώτης

ΘΕΜΑ: «Υπολογισμός τών τάσεων που εμφανίζονται στη διατομή μιας σήραγγας, με χρήση της θεωρίας της ελαστικότητας».

Ο σπουδαστής
Τριχάς Εμμανουήλ



ΠΑΤΡΑ 1994

ΑΡΙΘΜΟΣ ΕΙΣΑΓΩΓΗΣ	1558
----------------------	------

Η διπλωματική αυτή εργασία, πραγματοποιήθηκε το ακαδημαϊκό έτος 1993 - 1994 κάτω από την επίβλεψη του καθηγητή του τμήματος Πολιτικών Έργων Υποδομής, κυρίου Π.Ι.Μάντα, τον οποίο πρέπει να ευχαριστήσω για τη δυνατότητα που μου έδωσε να αναλάβω την πολύ ενδιαφέρουσα αυτή διπλωματική εργασία καθώς και για την συνεργασία και βοήθειά του κατά την εκπόνηση της.

Π Ε Ρ Ι Ε Χ Ο Μ Ε Ν Α

Προλεγόμενα	σελ. 1
Εισαγωγή	σελ. 3
Το πρόβλημα υπολογισμού των τάσεων γύρω από μια διατομή - - παραδοχές	σελ. 4
Επισημολογία	
Κατανομή των τάσεων σε σφραγίδα κυκλικής διατομής, σε μεγάλο βάθος, εντός ελαστικού και ισότροπου βρόχου	σελ. 14
Κατανομή των τάσεων με σινακτίμηση των πλαστικών φαινομένων	σελ. 29
Κατανομή των τάσεων σε σφραγίδα οποιασδήποτε διατομής	σελ. 29
Σχόλια και παρατηρήσεις	σελ. 30
Σχεδια - Διαγράμματα	σελ. 31
Βιβλιογραφία	σελ. 41

ΕΙΣΑΓΩΓΗ

Από τα σημαντικότερα υπόγεια τεχνικά έργα αρμοδιότητας του πολιτικού μηχανικού, είναι και οι σήραγγες.

Οι σήραγγες ορίζονται ως ανοίγματα υπόγεια, μεγάλου μήκους σε σχέση με τις διαστάσεις της διατομής τους και με χαραξη σε (συνήθως) ευθύγραμμο, οριζόντιο ή υπό μικρή κλίση, ως προς την οριζόντιο, άξονα.

Σήραγγες κατασκευάστηκαν και κατά την αρχαιότητα ακόμη, αλλά οι καλύτερες και σημαντικότερες στον κόσμο, είναι έργα που έχουν πραγματοποιηθεί κατά τον 19ο και τον 20ο αιώνα.

Διανοίξεις σιραγγών πραγματοποιήθηκαν και πραγματοποιούνται, σαν κύρια ή βοηθητικά τεχνικά έργα, για διαφόρους σκοπούς, όπως: συγκοινωνιακούς (οδικές παρτίσες ή μη κυκλοφορίας, σιδηροδρομικού δικτύου, METRO, υπογείων διαβάσεων πεζών), σε υδροηλεκτρικά έργα, σε έργα ύδρευσης, σε ορυχεία, κ.λ.π. Εποικιλία συναντάμε επίσης και στα είδη των διατομών που χρησιμοποιούνται. Σε γενικές γραμμές ξεχωρίζουμε διατομές σιραγγών με ευθύγραμμες πλευρές, διατομές με τοξοκύκλου και διατομές με τοξοελλείψεως (βλ. σχ. 1.3.1.γ).

Η ανάγκη κατασκευής σιραγγών μεγάλου μήκους και σημαντικών διαστάσεων διατομής, σε δυσμενείς συνθήκες μηχανικής συμπεριφοράς του μεσου (εδάφους) όπου διανοίγονται, οδήγησε τους ερευνητές, σε ορθολογικότερη σχεδίαση και στη χρήση πιο εκλεπτυσμένων μεθόδων υπολογισμού, σε συνάρτηση με εκτεταμένη γεωλογική έρευνα.

Η ορθολογική σχεδίαση μιας σήραγγας έχει ιδιαίτερη σημασία, λόγω του μεγάλου όγκου και του μεγάλου κόστους ανά μονάδα μήκους του έργου. Η σχεδίαση επηρεάζεται επίσης, από διάφορους γεωλογικούς παραγοντες (ασυνέχειες του εδάφους, υπογεια υδάτα, κ.α.) και προϋποθέτει χρήση γνώσεων από τη βραχυμηχανική.

ΤΟ ΠΡΟΒΛΗΜΑ ΤΟΥ ΥΠΟΛΟΓΙΣΜΟΥ ΤΩΝ ΤΑΣΕΩΝ ΓΥΡΩ ΑΠΟ ΜΙΑ ΔΙΑΤΟΜΗ -
- ΠΑΡΑΔΟΧΕΣ.

Η διαταραχή του ελαστικού πεδίου των τάσεων στο εσωτερικό του μέσου όπου διανοίγεται η σπραγγα, εξετάζεται με βάση τη θεωρία της ελαστικότητας, θέτοντας τις αναλογίες, βέβαια παραδόχες για την συμπεριφορά του μέσου.

Η περίπτωση όπου, θα έχουμε υπέρβαση στην αντοχή του μέσου, στο οποίο έχει διανοιχθεί η σπραγγα, λόγω της συγκέντρωσης των τάσεων - που έχει σαν συνέπεια την ανακαταννομή των τάσεων - εξετάζεται με βάση τη θεωρία της πλαστικότητας.

Πολλά αυτά, οι απλουστεύσεις και οι παραδόχες που συνοδεύουν τις διάφορες θεωρίες, συχνά απέχουν πολύ από τις επί τοπου συνθήκες και τότε οδηγούμαστε σε χρήση μεθόδων της μηχανικής των συνεχών μέσων, σε συνδυασμό με τα στοιχεία της γεωλογικής έρευνας και μετρήσεις της αντοχής των δειγμάτων του επί τοπου εδάφους.

Το πρόβλημα του υπολογισμού των τάσεων γύρω από μια σπραγγα, αντιμετωπίστηκε από την έρευνα, με δύο κυρίως κατευθύνσεις - σε σχέση με τη συμπεριφορά του μέσου όπου διανοίγεται:

(Α) Με την παραδοχή του απολύτως ελαστικού και ισότροπου βράχου, όπου έχουμε απεριόριστη ισχύ του νόμου του HOOKE, και

(Β) Με συνεκτιμηση των πλαστικών καταστάσεων που δημιουργούνται όταν γίνει υπέρβαση της αντοχής του μέσου όπου διανοίγεται η σπραγγα, και που έχουν σαν αποτέλεσμα την ανακαταννομή των τάσεων μέχρις ότου δημιουργηθεί μια νέα κατάσταση ισορροπίας.

Στην περίπτωση, ακόμη που τα μηχανικά χαρακτηριστικά του μέσου όπου γίνεται η διάνοιξη, είναι ανεπαρκή και έχουμε υπέρβαση της αντοχής του βράχου, η αστοχία εκδηλώνεται συνήθως με:

(Α) Απότομη απόσπαση τεμαχίων με τη μορφή ελασμάτων από τα τοιχώματα της διατομής, στην περίπτωση που έχουμε να αντιμετωπίσουμε ανίσοτροπο και ισότροπο βράχο.

(Β) απόσπαση τεμαχίων κατά μήκος των αρμών, όταν έχουμε να αντιμετωπίσουμε ρηγματωμένο βράχο.

Και στις δύο περιπτώσεις, η εκδήλωση της αστοχίας σταματά, όταν η διαμόρφωση της διατομής, με την απόσπαση των τεμαχίων, γίνει τέτοια, ώστε η σχέση των διαστάσεων της διατομής, δώσει νέα εντατική κατάσταση, συμβιβαστή προς την αντοχή του βράχου.

Η αλλαγή της εντατικής κατάστασης, κατά την εκκοπή μιας σπράγγας, περιγράφεται από το συντελεστή συγκεντρώσεως των τάσεων σε κάθε σημείο. Ο συντελεστής αυτός, ισούται με το λόγο της νέας πίεσης προς την αρχική - στο αντίστοιχο σημείο - και εξαρτάται από τους πιο κάτω παραγόντες:

- (Α) Την μορφή της διατομής
- (Β) Τη σχέση των διαστάσεων της
- (Γ) Την αρχική εγτατική κατάσταση
- (Δ) Γεωλογικούς παράγοντες, όπως: οι ασυνέχειες, οι σπγματώσεις, ή στρωσιγενείς κ.λ.π.

ΥΠΟΛΟΓΙΣΜΟΣ ΤΩΝ ΠΙΕΣΕΩΝ ΠΟΥ ΑΣΚΟΥΝΤΑΙ ΣΤΟ ΠΕΡΙΒΛΗΜΑ ΤΩΝ ΣΗΡΑΓΓΩΝ.

Οι μέθοδοι υπολογισμού των πιέσεων που ασκούνται στο περίβλημα των σήραγγων μπορούν να χωριστούν σε δύο μεγάλες κατηγορίες:

α) σε μία κατηγορία ανήκουν οι μέθοδοι που βασίζονται στην υπόθεση κατά την οποία οι πιέσεις που ασκούνται στο περίβλημα εξαρτώνται από το βάθος της σήραγγας.

β) σε άλλη κατηγορία ανήκουν εκείνοι που οι μέθοδοι υπολογισμού των πιέσεων δεν λαμβάνουν υπόψη τον επηρεασμό του βάθους της σήραγγας αλλά υποθέτουν πως οι πιέσεις που ασκούνται στο περίβλημα αυτής εξαρτώνται κατά μεγάλο μέρος στο αποτέλεσμα του "Loosening".

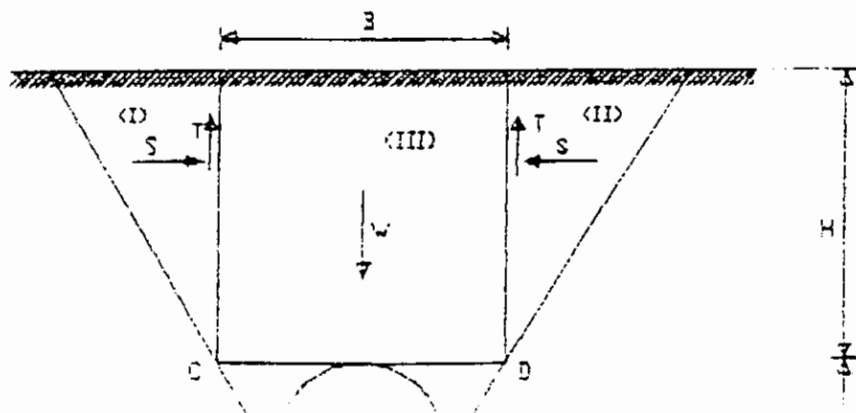
Έτσι αναπτύχθηκαν δύο ομάδες ομάδες θεωριών οι οποίες χαρακτηρίζονται από την λήψη ή όχι του παράγοντα βάθους της σήραγγας.

Μεταξύ των μεθόδων της πρώτης ομάδας των θεωριών που βασίζονται στο βάθος της σήραγγας για τον υπολογισμό των πιέσεων στο περίβλημα αυτής διακρίνονται των Bierbaumer, Terzaghi, Bella, Suquet.

Μέθοδος του Bierbaumer

Σύμφωνα με τη θεωρία του Bierbaumer το περίβλημα της σήραγγας υπόκειται σε ένα φορτίο που οφείλεται σε μάζα πετρώματος που ορίζεται από παραβολή ύψους $H' = \alpha H$ (δχ.) όπου α συντελεστής υπολογιζόμενος με δύο κύριες μεθόδους οι οποίες δίνουν τα ίδια σχεδόν αποτελέσματα.

Η θεωρία του Bierbaumer εφαρμόζεται θεωρώντας τη σήραγγα μέσα σε ένα σύστημα προστριβών. Υποθέτονται γι' αυτό δύο επίπεδα θραύσης κλίσης $45^\circ + \phi/2$ με το οριζόντιο επίπεδο, που δημιουργούνται αρχίζοντας από την βάση της σήραγγας.



Στο πρίσμα του πετρώματος σχήματος σφήνας που δημιουργείται από τα δύο κεκλιμένα επίπεδα θραύσης και την εξωτερική επιφάνεια του εδάφους παρουσιάζονται άλλα δύο επίπεδα κατακόρυφα θραύσης CF και DE. Επομένως το πρίσμα σχήματος σφήνας και αυτό που σχηματίζεται πάνω από την σήραγγα χωρίζεται σε τρία τμήματα (I), (II), (III). Το III τμήμα τείνει να ολισθήσει προς τα κάτω φορτίζοντας το περίβλημα (τοιχώματα) της σήραγγας μα αυτή η κίνηση εμποδίζεται από τις δυνάμεις τριβής T που αναπτύσσονται κατά μήκος των επιπέδων ολίσθησης DE και CF. Βάση της θεωρίας του Rankine η οριζόντια S ενεργός ώθηση πάνω στα επίπεδα ολίσθησης είναι:

$$S = \frac{1}{2} \gamma H^2 \operatorname{tg}^2(45^\circ - \frac{\phi}{2}) = \frac{1}{2} \gamma H^2 \frac{1}{N_\phi}$$

όπου $N_\phi = \operatorname{tg}^2(45^\circ + \phi/2)$

Επομένως η δύναμη T είναι:

$$T = S \cdot \operatorname{tg} \phi = \frac{1}{2} \gamma H^2 \operatorname{tg} \phi \cdot \operatorname{tg}^2(45^\circ - \frac{\phi}{2})$$

γ = το ειδικό βάρος του πετρώματος

Υποθέτοντας ότι W είναι το βάρος του πετρώματος του τμήματος (III). Το φορτίο το κατακόρυφο Q στο επίπεδο CD είναι:

$$Q = W - 2T = \gamma \cdot HB - 2T$$

$$\text{επειδή } B = b + 2h \cdot \operatorname{tg}(45^\circ - \phi/2)$$

$$\text{είναι: } Q = \gamma H [b + 2h \operatorname{tg}(45^\circ - \phi/2)] - \gamma H^2 \operatorname{tg} \phi \cdot \operatorname{tg}^2(45^\circ - \phi/2)$$

και το φορτίο q ανά μονάδα επιφάνειας είναι:

$$q = \frac{Q}{B} = \gamma H - \frac{\gamma H^2 \operatorname{tg} \phi \operatorname{tg}^2(45^\circ - \frac{\phi}{2})}{b + 2h \operatorname{tg}(45^\circ - \frac{\phi}{2})}$$

Το φορτίο p ανά μονάδα επιφάνειας στο επίπεδο CD που προέρχεται από το συνολικό βάρος του πετρώματος άνωθεν του επιπέδου δίδεται από: $p = \gamma H$

Επομένως το φορτίο q εκφράζει ένα μέρος του φορτίου p

$$\text{γι' αυτό είναι: } q = p \cdot \alpha = \gamma H \alpha = \gamma H \left(1 - \frac{H \operatorname{tg} \phi \operatorname{tg}^2(45^\circ - \frac{\phi}{2})}{b + 2h \operatorname{tg}(45^\circ - \frac{\phi}{2})} \right)$$

$$\text{όπου } \alpha : \quad \alpha = 1 - \frac{H \operatorname{tg} \phi \cdot \operatorname{tg}^2(45^\circ - \frac{\phi}{2})}{b + 2h \operatorname{tg}(45^\circ - \frac{\phi}{2})}$$

Επομένως το φορτίο στο επίπεδο CD είναι ίσο με το φορτίο που προέρχεται από το βάρος του πετρώματος μέχρι την εξωτερική επιφάνειά του πολλαπλασιασμένο με ένα συντελεστή μειωτικό που είναι ο α .

Για τον υπολογισμό του φορτίου που κατανέμεται στο επίπεδο CD αναλογικά ο Bierbaumer θεώρησε ότι η σήραγγα υπόκειται σε φορτίο που οφείλεται σε μάζα πετρώματος που ορίζεται από την παραβολή ύψους $H' = \alpha \cdot H$, επειδή παραλήφθηκε το αποτέλεσμα τύπου "τόξου" που αναπτύσσεται στο πέτρωμα πάνω από την σήραγγα. Γι' αυτό το φορτίο πάνω στο επίπεδο CD ασκείται κατά τρόπο παραβολικό με μέγιστο της τιμής q και ελάχιστο ίσο με μηδέν στα σημεία C και D.

Επομένως τα τοιχώματα της σήραγγας πρέπει να φέρουν το φορτίο κατανεμημένο όπως στο σχήμα. Ο μειωτικός $H' = \alpha \cdot H$

συντελεστής α έχει δύο οριακές τιμές. Για σήραγγες όχι σε μεγάλο βάθος (επιφανειακές) η

τιμή του α δεν μπορεί να είναι μικρότερα του 1,

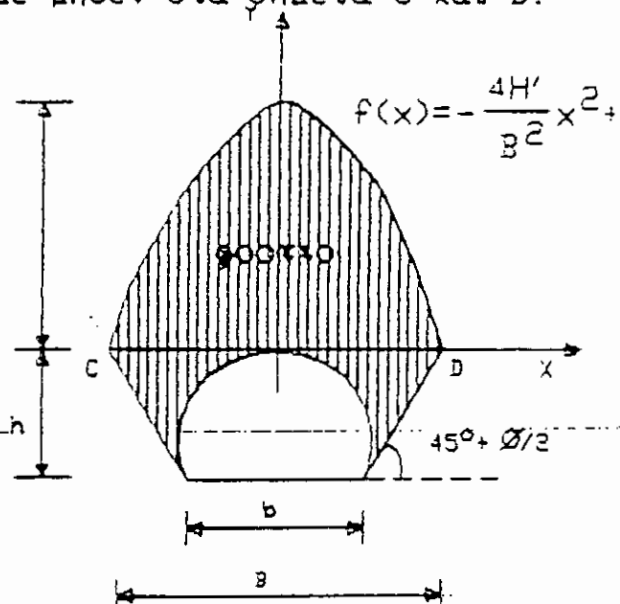
ενώ για σήραγγες σε

μεγάλο βάθος δηλαδή όταν $H > 5B$, η τιμή του α προκύπτει από την $\alpha = \operatorname{tg}^2(45^\circ - \phi/2)$.

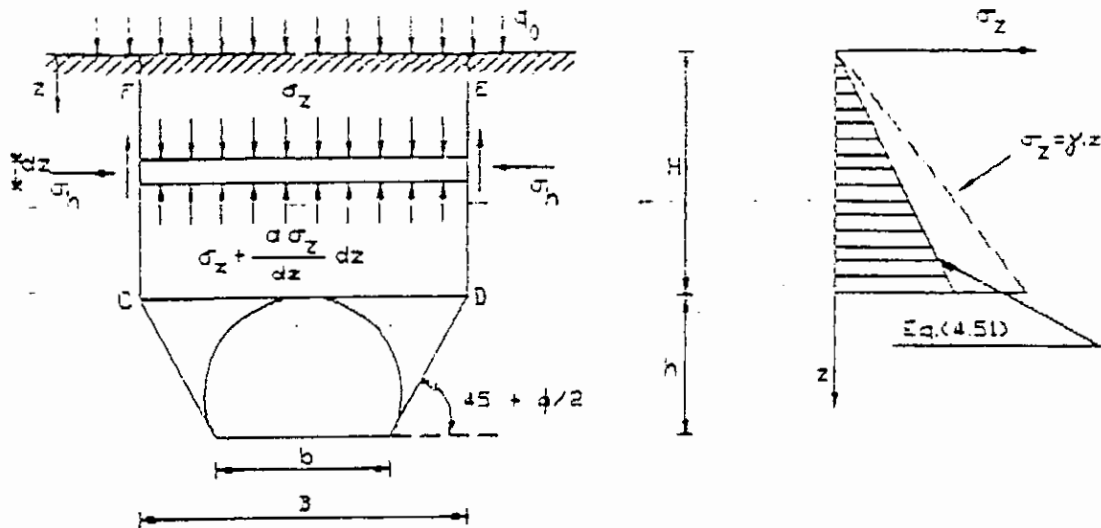
Η εφαρμογή της μεθόδου Bierbaumer δίνει τα καλύτερα αποτελέσματα στις περιπτώσεις που η σήραγγα είναι σε μεγάλο βάθος.

Μέθοδος του Terzaghi

Αυτή η μέθοδος βασίζεται κατά πολύ στη μέθοδο του Bierbaumer για τον υπολογισμό των τάσεων-πίεσεων στο περίβλημα της σήραγγας. Η διαφορά προκύπτει από τον διαφορετικό τρόπο καθορισμού των τιμών της διατμητικής



δύναμης που ασκείται στα επίπεδα CF και DE.



Θεωρείται ότι η οριζόντια τάση σ_h συνδέεται με την κατακόρυφη τάση σ_z με ένα συντελεστή εμπειρικό k ,

$$\sigma_h = \sigma_z \cdot k$$

και η διατμητική δύναμη στα επίπεδα CF και DE είναι:

$$\tau = c + \sigma_h \cdot \tan \phi \quad (2)$$

Για την κατακόρυφη ισορροπία ενός στοιχείου dz του τμήματος πετρώματος ισχύει:

$$\sigma_z B + \gamma B \cdot dz - (\sigma_z + \frac{d\sigma_z}{dz}) B - 2\tau \cdot dz = 0 \quad (3)$$

αντικαθιστώντας την (1) και (2) στην (3) και απλοποιώντας

$$\text{αυτήν:} \quad \frac{d\sigma_z}{dz} = \gamma - \frac{2c}{B} - \sigma_z \cdot \frac{2k}{B} \cdot \tan \phi \quad (4)$$

κάνοντας το ολοκλήρωμα της προηγούμενης εξίσωσης λαμβάνοντας $\sigma_z = q_0$ για $z=0$, έχουμε:

$$\sigma_z = \frac{B\gamma - 2c}{2k \tan \phi} (1 - e^{-\frac{2kz}{B} \tan \phi}) + q_0 e^{-\frac{2kz}{B} \tan \phi}$$

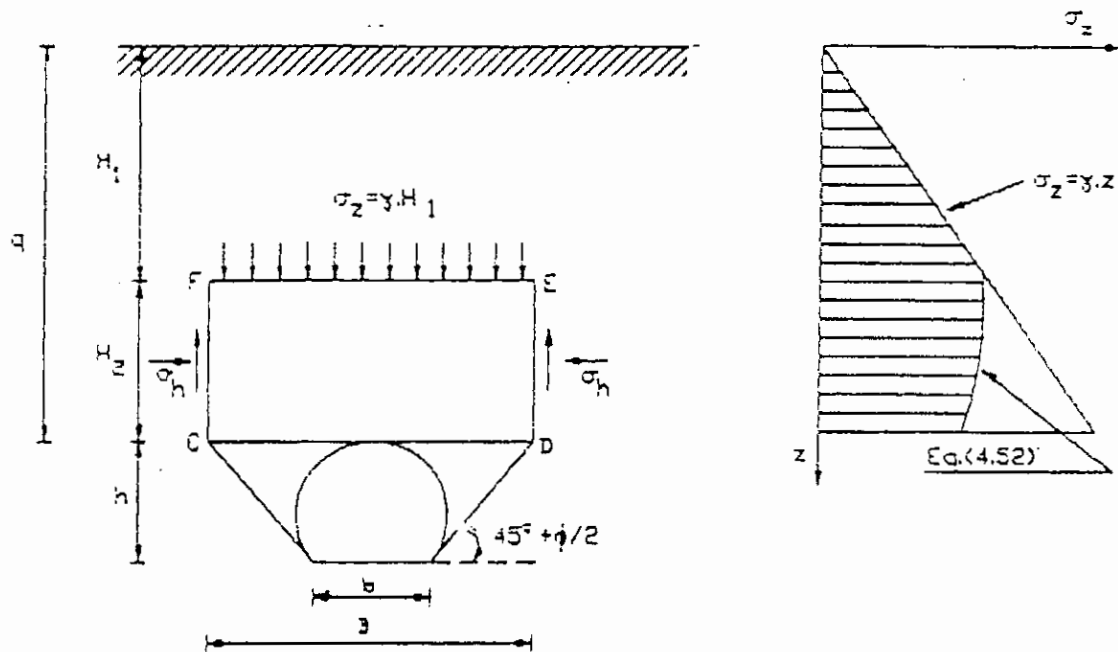
$$\text{όπου:} \quad \alpha = -\frac{2kz}{B} \tan \phi \quad B = h + 2h \cdot \tan(45^\circ - \frac{\phi}{2})$$

στην περίπτωση όπου δεν υπάρχει εξωτερικό φορτίο ($q_0=0$) η κατακόρυφος πίεση σ_z κάνοντας το ολοκλήρωμα της (4) η μεταβολή της πίεσης σ_z με το βάθος εξαρτάται από την

$$\text{παρακάτω εξίσωση:} \quad \sigma_z = \frac{B\gamma}{2k \tan \phi} (1 - e^{-\frac{2kz}{B} \tan \phi}) \quad (5)$$

στο παρακάτω σχήμα φαίνεται ο σχηματισμός των κατακόρυφων τάσεων με εκείνο του γαιωστατικού.

Για σήραγγες μεγάλου βάθους θεωρώντας H_2 το ύψος του τμήματος του πετρώματος υπεράνω των τοιχωμάτων από όπου υπάρχει κίνηση φορτίων προς τα κάτω και H_1 το υπόλοιπο της μάζας του πετρώματος που ασκεί πίεση στα τοιχώματα της σήραγγας, η σχέση (4) γίνεται κάνοντας το ολοκλήρωμα αυτής και θεωρώντας $\sigma_z = \gamma H_1$ στο βάθος $z = H_1$



$$\sigma_r = \frac{\gamma B}{2Kt \sin \phi} (1 - e^{\alpha}) + \gamma H_2 e^{\alpha} \quad (6)$$

όπου: $\alpha = -\frac{2K(z-H_1)}{B} \tan \phi \quad z > H_2$

αντικαθιστώντας το βάθος z με $z=H$ από τις σχέσεις (5) και (6) υπολογίζεται η συνολική πίεση q που ασκείται στη στέψη της σήραγγας. Αυτή η πίεση q μπορεί να θεωρηθεί ότι κατανέμεται σε σχηματισμό παραβολικό ή ομοιόμορφο στη στέψη της σήραγγας.

Στη περίπτωση που η σήραγγα είναι σε μεγάλο βάθος ούτως ώστε H είναι τουλάχιστον ίσο με το $1/5 H$, ο δεύτερος όρος της θεωρείται αμελητέος, ενώ ο πρώτος όρος εντός παρενθέσεως είναι σχεδόν ίσος με 1. Η σχέση γιαυτό (6)

στην απλουστευμένη μορφή της είναι: $q = \frac{\gamma B}{2Kt \sin \phi}$

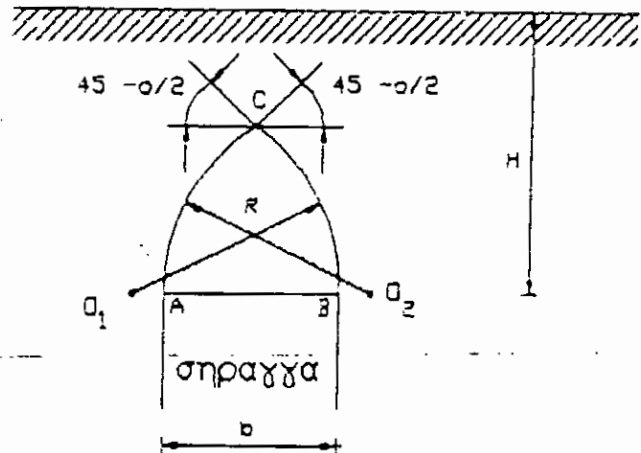
απεδειχθεί πως η μέθοδος Terzaghi παρέχει ικανοποιητικά αποτελέσματα για σήραγγες όπου $H < 3B$ δηλ. σχεδόν επιφανείας.

Μέθοδος του Balla

Αυτή η μέθοδος βασίζεται στην υπόθεση όπου στη μάζα του πετρώματος υπεράνω της στέψης της σήραγγας-διαμορφώνεται μια ζώνη θραύσης ίδια με αυτήν που διαμορφώνεται κάτω από τις θεμελιώσεις επιφανείας.

Θεωρώντας την σήραγγα ορθογωνικής διατομής και υποθέτοντας πως οι επιφάνειες θραύσης είναι κυκλικής διατομής και περνούν από τις γωνίες της σήραγγας όπως στο παρακάτω σχήμα, η ακτίνα των κυκλικών διατομών είναι τέτοια ούτως ώστε η γωνία που σχηματίζεται μεταξύ των εφαπτομένων των κυκλικών διατομών με την οριζόντια στο σημείο όπου οι δύο κύκλοι τέμνονται είναι της τάξεως $45^\circ - \phi/2$ (περίπτωση παθητικής ώθησης).

Το κέντρο των κύκλων βρίσκεται στο ύψος της στέψης της σήραγγας. Για τον υπολογισμό της πίεσης (του φορτίου) q που δέχεται η στέψη αυτής της σήραγγας λαμβάνεται υπόψη η σχέση ισορροπίας σε κατακόρυφη διεύθυνση της πρισματικής σφήνας ABC που υπόκειται στο ίδιο του το βάρος, του φορτίου που δέχεται η πλευρά AB και της συνισταμένης των δυνάμεων που ασκούνται στα τόξα των κύκλων AC και BC .



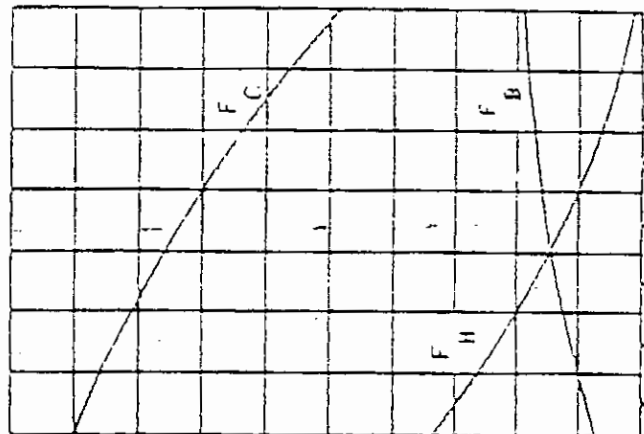
Το φορτίο q ομοιόμορφα κατανεμημένο στο τμήμα AB της σήραγγας δίδεται από την εμπειρική σχέση:

$$q = H \cdot \gamma F_k + b \gamma \cdot F_m - c F_c$$

όπου F_k , F_m και F_c συντελεστές αδιάστατοι υπολογισμένοι εμπειρικά και εξαρτώνται από την γωνία εσωτερικής τριβής όπως φαίνεται και από το παρακάτω διάγραμμα που

χρησιμοποιείται για τον υπολογισμό των συντελεστών.

Για τον υπολογισμό του q με τον συντελεστή F_k λαμβάνεται υπόψη και το βάθος της σήραγγας, με τον συντελεστή F_m λαμβάνεται υπόψη το πλάτος της σήραγγας και με τον F_c η συνοχή του πετρώματος κατά μήκος των κύκλων θραύσης AC και BC.



Η μέθοδος του Balla όπως καθορίστηκε προηγουμένως δίδει ικανοποιητικά αποτελέσματα προπάντως για τις πρακτικές εφαρμογές της έτσι ο υπολογισμός των φορτίων είναι πάντα υπεράνω της πραγματικότητας και αυτό χάριν της ασφάλειας των έργων.

Άλλη μέθοδος σ' αυτήν την περίπτωση για τον υπολογισμό του φορτίου q είναι αυτή του Duquet που η μελέτη αυτής προέκυψε από τις εμπειρικές παρατηρήσεις που έγιναν κατά την διάρκεια της κατασκευής της υπόγειας σήραγγας του μετρό στο Παρίσι.

Από τις μεθόδους που δεν λαμβάνουν υπόψη το αποτέλεσμα που μπορεί να προκύψει από το βάθος της σήραγγας και επομένως θεωρούν πως οι πιέσεις (φορτία) προέρχονται μόνο εξ' αιτίας της επίδρασης τύπου "loosening" διακρίνεται αυτή του Kommerell και αυτή που χρησιμοποιείται για τον υπολογισμό των σήραγγων όταν τα πετρώματα είναι ασυνεχή και στις ασυνέχειες παρεμβάλλονται στρώσεις τσιμεντοποιημένες.

Μέθοδος του Kommerell

Αυτή η μέθοδος για τον υπολογισμό των φορτίων που ασκούνται στη στέψη της σήραγγας είναι από τις παλιές θεωρίες η πιο γνωστή.

Με την μέθοδο αυτή υποτίθεται ότι η πίεση που ασκείται στα τοιχώματα της σήραγγας είναι τόση όση δημιουργείται από την αποχώρηση μάζας εδάφους ή πετρώματος που προέκυψε

από την ταυτόχρονη ακτινική υποχώρηση των τοιχωμάτων της σήραγγας αυτής.

Πράγματι όσο μεγαλύτερη είναι αυτή η μετακίνηση (υποχώρηση) τόσο μεγαλύτερη είναι η έκταση του πετρώματος που έχει ενοχληθεί από την κεφαλή και επομένως το φορτίο στα τοιχώματα της σήραγγας που προκύπτει από την επίδραση τύπου "loosening" είναι αυτό της μεθόδου Kommerell.

Θεωρείται ότι υπάρχει μια γραμμική σχέση μεταξύ του μεγέθους της ακτινικής μετακίνησης e και του ύψους $H' = \alpha H$ του πετρώματος ή του εδάφους που ασκεί πίεση στα τοιχώματα της σήραγγας.

$$H' = e/\delta$$

η τιμή του συντελεστή δ που ονομάζεται και συντελεστής "loosening" εξαρτάται από τον τύπο του εδάφους ή του πετρώματος όπου η σήραγγα κατασκευάζεται.

Τιμές του συντελεστή δ , "loosening" δ συνάρτησει του τύπου του εδάφους ή πετρώματος.

Τύπος εδάφους ή πετρώματος	δ
Αργιλοαμμώδες έδαφος	0.01+0.03
Συνεκτικό (ολίγον) έδαφος	0.03+0.05
Συνεκτικό (πολύ) έδαφος	0.05+0.08
Πετρώματα ισχνά	0.08+0.12
Πετρώματα σκληρά	0.12+0.15

Το σχήμα του τμήματος του πετρώματος που ασκεί πίεση στα τοιχώματα της σήραγγας είναι της μεθόδου Bierbaumer.

ΕΦΑΡΜΟΓΗ

ΚΑΤΑΝΟΜΗ ΤΩΝ ΤΑΣΕΩΝ ΣΕ ΣΦΡΑΓΓΑ ΚΥΚΛΙΚΗΣ ΔΙΑΤΟΜΗΣ, ΣΕ
ΜΕΓΑΛΟ ΒΑΘΟΣ, ΕΝΤΟΣ ΕΛΑΣΤΙΚΟΥ ΚΑΙ ΙΣΟΤΡΟΦΟΥ ΒΡΑΧΟΥ.

(Η σφραγγα προδίδεται ανεπάνδρτη).

1. Παραδοχές

- Γίνεται η παραδοχή ύπαρξης ελαστικού και ισότροφου βράχου. Έχουμε απεριόριστο ισχύ του νόμου του HOOKE .
- Οι θλιπτικές, εφελκυστικές και διατμητικές δυνάμεις, θεωρείται ότι μπορούν να πάρουν οποιαδήποτε υψηλή τιμή, χωρίς να έχουμε διακοπή στο μέσο και υπερβασή της αντοχής του βράχου.
- Δεχόμαστε επίσης ότι οι παραμορφώσεις γίνονται αμεσα, από τη στιγμή που θα έχουμε αλλαγή της εντατικής κατάστασης.
- Τέλος, κάνουμε την παραδοχή ότι οι αρχικές τάσεις, $\sigma_{\theta 0} = \gamma \cdot h$ (κατακόρυφες, ή το βάθος του κέντρου της διατομής, από την ελεύθερη επιφάνεια του εδάφους) και $\sigma_{\phi 0} = K \cdot \sigma_{\theta 0}$ (οριζόντιες, K: συντελεστής ωθήσεως εν ηρεμία) , είναι ανεξάρτητες της διαμορφώσεως του βράχου, που έχουμε από την οροφή έως το δάπεδο της σφραγγας, λόγω της μικρής διατομής της σφραγγας σε σχέση με το μεγάλο βάθος της εκσκαφής, στην παρούσα εφαρμογή. (Η παραδοχή αυτή είναι κοντά στην πραγματικότητα τις περισσότερες φορές, όπου το βάθος εκσκαφής ή της σφραγγας είναι πολύ μεγάλο).

2. Επίλυση κυκλικής σφραγγας (KIRSH).

Στην περίπτωση της σφραγγας κυκλικής διατομής, θεωρήσαμε ότι διανοίγεται σε μεγάλο βάθος, ώστε η απόσταση του κέντρου της από την ελεύθερη επιφάνεια του εδάφους να είναι αντιπροσωπευτική όλης της σφραγγας (βλ.σχ.3). Για οποιαδήποτε τιμή του συντελεστή ωθήσεως K, επιλύεται το πρόβλημα, με επαλληλία των εντατικών καταστάσεων που προκύπτουν, αφ' ενός λόγω της φόρτισης κατά τον κατακόρυφο άξονα, και κατά τον οριζόντιο αφ'ετέρου.

Η βασική επίλυση κυκλικής σφραγγας σε μεγάλο βάθος, φορτιζόμενης κατά ένα άξονα (π.χ. τον κατακόρυφο z) , δίνεται σε πολικές συντεταγμένες, κατά τον Kirsh, με τις παρακάτω σχέσεις (βλ.σχ.4) :

Ακτινικές τάσεις

$$\sigma_R = (\sigma_z/2) \cdot \left[1 - a^2/r^2\right] + (\sigma_z/2) \cdot \left[1 + 3a^4/r^4 - 4a^2/r^2\right] \cdot \cos(2\theta) \quad (1)$$

Εφαπτομενικές τάσεις

$$\sigma_\theta = (\sigma_z/2) \cdot \left[1 + a^2/r^2\right] - (\sigma_z/2) \cdot \left[1 + 3a^4/r^4\right] \cdot \cos(2\theta) \quad (2)$$

Διατμητικές τάσεις

$$\tau_{r,\theta} = (\sigma_z/2) \cdot \left[1 - 3a^4/r^4 + 2a^2/r^2\right] \cdot \sin(2\theta) \quad (3)$$

- Όπου είναι:
- a : η ακτίνα της κυκλικής διατομής.
 - r : η απόσταση του εξεταζόμενου σημείου από το κέντρο O της διατομής.
 - θ : η γωνία που σχηματίζεται μεταξύ του άξονα φορτίσης και της επιβατικής ακτίνας r , που αντιστοιχεί στο εξεταζόμενο σημείο.
 - σ_z : η ομοιόμορφη πίεση κατά τον άξονα φορτίσεως Z (η $\sigma_x = K \cdot \sigma_z$, για φορτίση κατά τον άξονα X , αντίστοιχα).
 - σ_r : η ακτινική τάση.
 - σ_θ : η εφαπτομενική τάση.
 - $\tau_{r,\theta}$: η διατμητική τάση στο επίπεδο (r,θ) .

Στις παραπάνω σχέσεις, $\sigma_z = \gamma \cdot h$ γιατί το βάθος h είναι πολύ μεγάλο σε σχέση με τη διάμετρο $2a$ της διατομής, και επομένως μπορούμε να αναφερόμαστε, για το βάθος στο κέντρο της κυκλικής σφαιράγγας.

3. Κατανομή των εφαπτομενικών τάσεων σ_{θ} κατά μήκος των αξόνων Z και X, συναρτήσει του συντελεστή ουδετέρας μ ή ν ή K .

(i) Κατανομή των εφαπτομενικών τάσεων σ_{θ} κατά τον άξονα X.

Για τις κατακόρυφες πιέσεις σ_z , κατά την εξίσωση (2) και για $\theta = \pi/2$, προκύπτει:

$$\sigma_{\theta z} = (\sigma_z/2) \cdot \left[1 + \alpha^2/r^2 \right] + (\sigma_z/2) \cdot \left[1 + 3\alpha^4/r^4 \right] \quad (4)$$

Για τις οριζόντιες πιέσεις σ_x , κατά την εξίσωση (2), για γωνία $\theta_x = \pi/2 - \theta$, όπου για $\theta = \pi/2$ έχουμε $\theta_x = 0$ και $\cos 2\theta_x = 1$, προκύπτει:

$$\sigma_{\theta x} = (\sigma_x/2) \cdot \left[1 + \alpha^2/r^2 \right] - (\sigma_x/2) \cdot \left[1 + 3\alpha^4/r^4 \right]$$

και επειδή $\sigma_x = K \cdot \sigma_z$, είναι:

$$\sigma_{\theta x} = (K \cdot \sigma_z/2) \cdot \left[1 + \alpha^2/r^2 \right] - (K \cdot \sigma_z/2) \cdot \left[1 + 3\alpha^4/r^4 \right] \quad (5)$$

Ο συνδυασμός των δύο εντατικών καταστάσεων που περιγράφονται από τις εξισώσεις (4) και (5), δίνει:

$$\sigma_{\theta} = (\sigma_z/2) \cdot \left[(1 + \alpha^2/r^2) \cdot (1+K) + (1 + 3\alpha^4/r^4) \cdot (1-K) \right]$$

και επειδη $\sigma_z = \gamma \cdot h$, είναι:

$$\sigma_{\theta} = (\gamma \cdot h/2) \cdot \left[(1 + a^2/r^2) \cdot (1+K) + (1 + 3a^4/r^4) \cdot (1-K) \right] \quad (5)$$

(ii) Κατανομή των εφαπτομενικών τάσεων σ_{θ} κατά τον άξονα Z.

Ομοια, κατά την εξίσωση (2) , εξ'αιτίας των κατακευλίμων πιέσεων σ_z και για $\theta = 0$, έχουμε:

$$\sigma_{\theta z} = (\sigma_z/2) \left[1 + a^2/r^2 \right] - (\sigma_z/2) \cdot \left[1 + 3a^4/r^4 \right] \quad (7)$$

και λόγω των οριζοντίων πιέσεων σ_x , για γωνία $\theta_x = \pi/2 - \theta$ όπου για $\theta = 0$ είναι $\theta_x = \pi/2$, έχουμε:

$$\sigma_{\theta x} = (\sigma_x/2) \cdot \left[1 + a^2/r^2 \right] + (\sigma_x/2) \cdot \left[1 + 3a^4/r^4 \right]$$

και επειδη $\sigma_x = K \cdot \sigma_z$, έχουμε:

$$\sigma_{\theta x} = (K \cdot \sigma_z)/2 \cdot \left[1 + a^2/r^2 \right] + (K \cdot \sigma_z)/2 \cdot \left[1 + 3a^4/r^4 \right] \quad (8)$$

Με τον συνδυασμό των δύο εντατικών καταστάσεων που περιγράφονται από τις εξισώσεις (7) και (8) , έχουμε:

$$\sigma_{\theta} = (\sigma_z/2) \cdot \left[(1 + a^2/r^2) \cdot (1+K) - (1 + 3a^4/r^4) \cdot (1-K) \right]$$

και για $\sigma_z = \gamma \cdot h$, γίνεται:

$$\sigma_{\theta} = (\gamma \cdot h/2) \cdot \left[(1 + a^2/r^2) \cdot (1+K) - (1 + 3a^2/r^2) \cdot (1-K) \right] \quad (9)$$

Οι εξισώσεις (6) και (9) δίνουν την κατανομή των εφασπτομενικών τάσεων κατά τους δύο άξονες X και Z αντιστοίχως , συναρτήσει του λόγου a/r και του συντελεστή ουδετέρας ωθήσεως K.

Οι τιμές της εφασπτομενικής τάσης σ_{θ} συναρτήσει του K στα σημεία A και C επί της άκτινος της σπράγγας (βλ.σχ.3) , δίνονται από τις εξισώσεις (6) και (9) αντιστοίχως , για $r = a$.

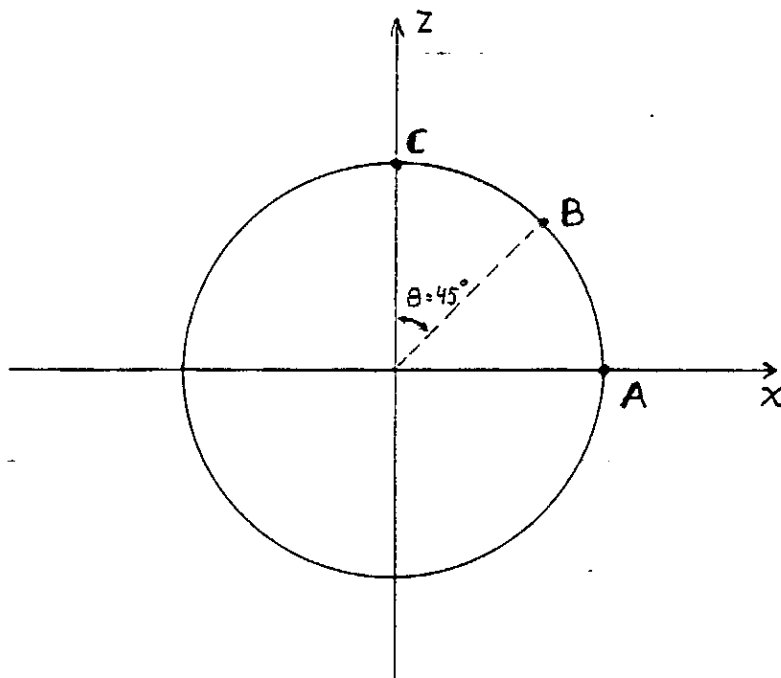
Για το σημείο A είναι:

$$\sigma_{\theta} = (\gamma \cdot h/2) \cdot \left[2(1+K) + 4(1-K) \right] \quad \text{ή} \quad \sigma_{\theta} = \gamma \cdot h \cdot (3-K) \quad (10)$$

Για το σημείο C είναι:

$$\sigma_{\theta} = (\gamma \cdot h/2) \cdot \left[2(1+K) - 4(1-K) \right] \quad \text{ή} \quad \sigma_{\theta} = \gamma \cdot h \cdot (3K-1) \quad (11)$$

Στο σχ.5 , δίδεται η γραφική παράσταση των εξισώσεων (10) και (11) για διάφορες τιμές του συντελεστή ουδετέρας ωθήσεως K (επίλυση κατά Terzaghi και Richart ,1952) .



Για την θέση Β ($a=r$) έχουμε:

Για τις κατακόρυφες πιέσεις σ_z , κατά την εξίσωση (2) και γωνία $\theta=45^\circ=\pi/4$ και $\sin(2\theta)=\sin(\pi/2)=1$, έχουμε:

$$\sigma_{\theta z} = \sigma_z$$

Για τις οριζόντιες πιέσεις $\sigma_x = k \cdot \sigma_z$ και γωνία $\theta_x = \pi/2 - \pi/4 = \pi/4$ και $\sin(2\theta_x) = \sin(\pi/2) = 1$ είναι:

$$\sigma_{\theta x} = k \cdot \sigma_z$$

Ο συνδυασμός των δύο εντατικών καταστάσεων μας δίνει για την θέση Β:

$$\sigma_{\theta} = \sigma_z + k \cdot \sigma_z \quad \ddagger$$

$$\sigma_{\theta} = \sigma_z (k+1) \quad (12)$$

Υπολογίζουμε την τάση σ_{θ} για τις θέσεις Α, Β και C ($a=r$) για πέτρωμα με $\gamma = 2.5 \text{ t/m}^3$ και για αργελικό έδαφος με $\gamma = 1.8 \text{ t/m}^3$ σε βάθος $h = 60 \text{ m}$ και για τιμές του k : 1, 2/3, 1/3 και 1/4. Για τις θέσεις Α Β και C εφαρμόσουμε τις εξισώσεις (10) (12) και (11) αντίστοιχα.

Τα αποτελέσματα φαίνονται στον παρακάτω πίνακα ($\sigma_z = \gamma \cdot h$):

	K	σ_{θ} (tn/m ²)		
		A	B	C
Περσώμα $\delta = 2.5$ tn/m ³	1	300,0	300,0	300,0
	2/3	350,0	250,0	150,0
	1/3	400,0	200,0	0,0
	1/4	412,5	187,5	-37,5
Αργιλλικό έδαφος $\delta = 1.8$ tn/m ³	1	216,0	216,0	216,0
	2/3	252,0	180,0	108,0
	1/3	288,0	144,0	0,0
	1/4	297,0	135,0	-27,0

(βλ. σελ. 9)

4. Γραφική παράσταση της κατανομής των εφαιπτουμενικών και ακτινικών τάσεων κατά τον άξονα φορτίσης X.

(Ενδεικτικά , για την τιμή: $K = 0.5$) .

(i) Για τις εφαιπτουμενικές τάσεις , κατά τον άξονα X και για τιμή του συντελεστή αυξήσεως $K = 0.5$, εφαρμόζουμε την εξίσωση (6) :

$$\sigma_{\theta} = (\gamma \cdot h/2) \cdot \left[(1 + a^2/r^2) \cdot (1+K) + (1 + 3a^4/r^4) \cdot (1-K) \right] \quad \eta$$

$$\sigma_{\theta} = (\gamma \cdot h/2) \cdot \left[(1 + a^2/r^2) \cdot 1.50 + (1 + 3a^4/r^4) \cdot 0.50 \right] \quad \eta$$

$$\sigma_{\theta} = (\gamma \cdot h/2) \cdot \left[1 + 0.75 \cdot (a^2/r^2) \cdot (1 + a^2/r^2) \right] \quad (13)$$

(ii) Για τις ακτινικές τάσεις σ_r , κατά τον άξονα X , εφφαρμόζουμε την εξίσωση (1) για φόρτιση κατακόρυφη με $\sigma_z = \gamma \cdot h$ και οριζόντια με $\sigma_x = K \cdot \sigma_z = K \cdot \gamma \cdot h$

α) Φόρτιση κατά τον άξονα Z :

$$\sigma_{rz} = (\sigma_z/2) \cdot \left[1 - a^2/r^2 \right] + (\sigma_z/2) \cdot \left[1 + 3a^4/r^4 - 4a^2/r^2 \right] \cdot \cos(\pi)$$

$$\sigma_{rz} = (\sigma_z/2) \cdot \left[1 - a^2/r^2 \right] - (\sigma_z/2) \cdot \left[1 + 3a^4/r^4 - 4a^2/r^2 \right] \quad (14)$$

β) Φόρτιση κατά τον άξονα X :

$$\sigma_{rx} = (K \cdot \sigma_z / 2) \cdot \left[1 - a^2 / r^2 \right] + (K \cdot \sigma_z / 2) \cdot \left[1 + 3a^4 / r^4 - 4a^2 / r^2 \right] \cdot \cos(\theta)$$

$$\sigma_{rx} = (K \cdot \sigma_z / 2) \cdot \left[1 - a^2 / r^2 \right] + (K \cdot \sigma_z / 2) \cdot \left[1 + 3a^4 / r^4 - 4a^2 / r^2 \right] \quad (15)$$

Από το συνδυασμό των εξισώσεων (13) και (14) έχουμε :

$$\sigma_r = (\sigma_z / 2) \cdot \left[(1 - a^2 / r^2) \cdot (K+1) + (1 + 3a^4 / r^4 - 4a^2 / r^2) \cdot (K-1) \right]$$

όπου για την ενδεικτική τιμή $K = 0.5$, έχουμε :

$$\sigma_r = (\sigma_z / 2) \cdot \left[1.50 \cdot (1 - a^2 / r^2) - 0.50 \cdot (1 + 3a^4 / r^4 - 4a^2 / r^2) \right] \quad \eta$$

$$\sigma_r = (\sigma_z / 2) \cdot \left[1 + 0.50 \cdot (a^2 / r^2) - 1.50 \cdot (a^4 / r^4) \right] \quad \eta$$

$$\sigma_r = \gamma \cdot h \cdot \left[0.50 + 0.25 \cdot (a^2 / r^2) \cdot (1 - 3a^2 / r^2) \right] \quad (16)$$

Για την κατασκευή της γραφικής παράστασης των κατανομών των τάσεων σ_θ και σ_r κατά τον άξονα X - εξισώσεις (13) και (16) αντίστοιχα (βλ. σχ. 6) - θεωρούμε, ενδεικτικά για το παράδειγμά μας, ότι η σήραγγα πρόκειται να διανοιχτεί σε βράχο με φαινόμενο ειδικό βάρος $\gamma = 2.2 \text{ t/m}^3$, με διατομή διαμέτρου $2a = 4.0 \text{ m}$, που το βάθος του κέντρου της από την ελεύθερη επιφάνεια του εδάφους είναι $h = 60 \text{ m}$.

-Οι τάσεις πριν την εκσκαφή είναι :

$$\sigma_{\theta 0} = \sigma_{\nu 0} = \gamma \cdot h = 2.2 \cdot 60 = 132 \text{ tn/m}^2$$

$$\sigma_{R0} = \sigma_{\theta 0} = K \cdot \gamma \cdot h = 0.50 \cdot 2.2 \cdot 60 = 66 \text{ tn/m}^2$$

Τα αποτελέσματα των υπολογισμών για τη γραφική παράσταση, παρουσιάζονται στον παρακάτω πίνακα :

r/a	a/r	σ_{θ} (tn/m ²)	σ_r (tn/m ²)
1.00	1.000	330	0
1.05	0.952	303	15
1.10	0.909	281	26
1.20	0.833	249	41
1.40	0.714	208	57
1.70	0.588	178	66
2.00	0.500	163	68
3.00	0.333	144	69

(βλ.σχ. 4)

5. Έλεγχος για τυχόν υπέρβαση της διατμητικής αντοχής του βράχου σε ένα σημείο ή σε μια περιοχή.

Θεωρούμε για το έδαφος που διανοίγεται η σήραγγα στο παράδειγμά μας, τις παραμέτρους διατμητικής αντοχής: $C = 15 \text{ kgr/cm}^2 = 150 \text{ tn/m}^2$ και $\phi = 35^\circ$.

Όπως φαίνεται και από τη γραφική παράσταση της κατανομής των τάσεων, π.χ. για τον άξονα X, όταν ο λόγος r/a γίνεται μεγαλύτερος, δηλαδή για σημεία περισσότερο απομακρυσμένα από τη θέση A (άντυγα της σήραγγας - βλ.σχ.6), η μία κύρια τάση, η σ_{θ} , ελαττώνεται, πλησιάζοντας την τιμή που είχε πριν από την εκσκαφή $\sigma_{\theta 0}$, ενώ η άλλη κύρια τάση, η σ_r , αυξάνεται, πλησιάζει και, σε μια περιοχή υπερβαίνει την αρχική τιμή που είχε πριν την εκσκαφή σ_{R0} .

Δηλαδή, βλέπουμε ότι όσο απομακρυνόμαστε από τα σημεία που βρίσκονται επάνω στην περιμετρο της διατομής, η πιθανότητα υπέρβασης της διαταμητικής αντοχής ελαττώνεται.

Από την άποψη υπέρβασης της διαταμητικής αντοχής, περισσότερο πιθανή είναι η περιοχή της άντυγας της σφραγδας, όπου ο λόγος των κυρίων τάσεων γίνεται μέγιστος όπως και η διασφραγδα τους.

Στα σημεία που βρίσκονται επάνω στην περιμετρο της κυκλικής διατομής της σφραγδας η ακτινική τάση είναι $\sigma_r = 0$ (βλ. Πιν. & διάγραμμα).

Πρέπει να υπολογιστεί η θέση όπου η εφαιπουμενική τάση πάρνει τη μέγιστη τιμή της $\sigma_{\theta}(\max)$.

Εισαγωγίζουμε την εξίσωση (2). Για $a/r = 1$, έχουμε:

α) Φόρτιση κατά τον άξονα Z :

$$\sigma_{\theta z} = (\sigma_z/2) \cdot \left[1 + a^2/r^2 \right] - (\sigma_z/2) \cdot \left[1 + 3a^4/r^4 \right] \cdot \cos(2\theta)$$

$$\sigma_{\theta z} = \sigma_z - 2 \cdot \sigma_z \cdot \cos(2\theta)$$

$$\sigma_{\theta z} = \sigma_z \cdot \left[1 - 2 \cdot \cos(2\theta) \right] \quad (17)$$

β) Φόρτιση κατά τον άξονα X :

$$\sigma_{\theta x} = (K \cdot \sigma_z/2) \cdot \left[1 + a^2/r^2 \right] - (K \cdot \sigma_z/2) \cdot \left[1 + 3a^4/r^4 \right] \cdot \cos 2(\pi/2 - \theta)$$

$$\sigma_{\theta x} = (K \cdot \sigma_z) \cdot \left[1 + 2 \cdot \cos(2\theta) \right] \quad (18)$$

Από την επαλληλία των εξισώσεων (16) και (17) έχουμε :

$$\sigma_{\theta} = \sigma_z \cdot [1 - 2 \cdot \sin(2\theta)] + (K \cdot \sigma_z) \cdot [1 + 2 \cdot \sin(2\theta)]$$

$$\sigma_{\theta} = \sigma_z \cdot [(K+1) + 2 \cdot (K-1) \cdot \sin(2\theta)]$$

Για την τιμή $K = 0.50$ είναι :

$$\sigma_{\theta} = \sigma_z \cdot [1.50 - 2 \cdot 0.50 \cdot \sin(2\theta)]$$

$$\sigma_{\theta} = \sigma_z \cdot [1.50 - \sin(2\theta)] \quad (19)$$

Από την εξίσωση (19) βλέπουμε ότι η εφαπτομενική τάση σ_{θ} , παίρνει τη μέγιστη τιμή της όταν η ποσότητα $\sin(2\theta)$ γίνει ελάχιστη, δηλαδή όταν είναι $\sin(2\theta) = -1$, πράγμα που συμβαίνει όταν $2\theta = \pi$ ή $2\theta = 3\pi$ ή αλλιώς όταν :

$$\theta = \pi/2 \quad \text{ή} \quad \theta = 3\pi/2$$

Από τα παραπάνω συμπεραίνουμε ότι η εφαπτομενική τάση σ_{θ} , γίνεται μέγιστη στα δύο αντιδιαμετρικά σημεία της διατομής της σήραγγας επάνω στον άξονα X.

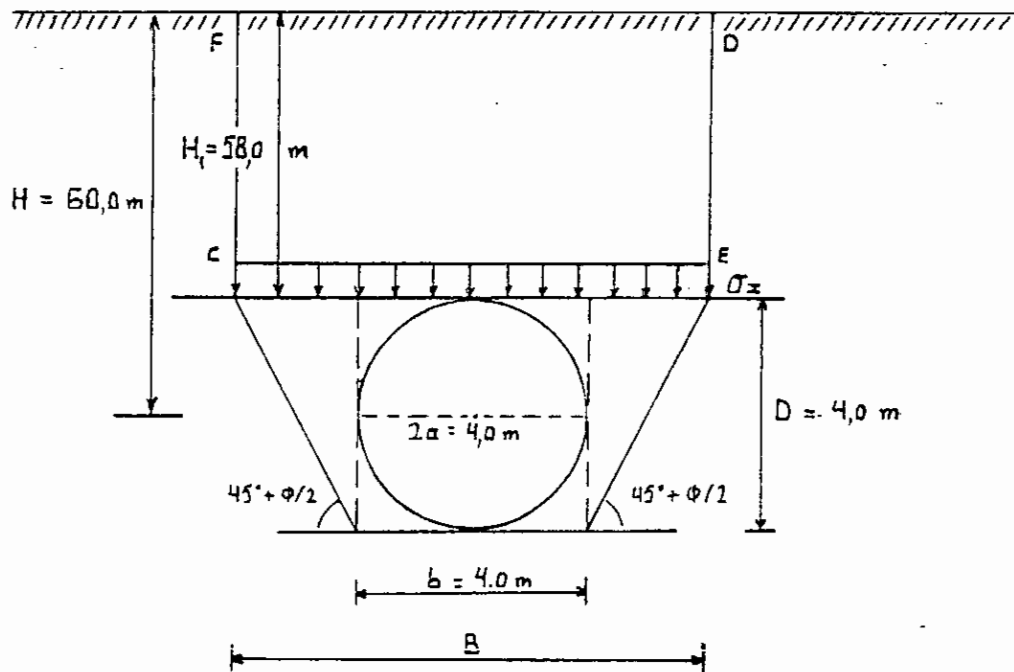
Από την εξίσωση (19) έχουμε :

$$\sigma_{\theta}(\max) = \sigma_z \cdot [1.50 + 1] = 2.5 \cdot \sigma_z$$

Απο το διάγραμμα Mohr - Coulomb (βλ.σχ.7), και για τις δεδομέ-
νες παραμέτρους διατμητικής αντοχής $C = 150 \text{ tη/m}^2$ και $\phi = 35^\circ$, φαί-
νεται ότι η διατμητική αντοχή, σε κάθε θέση, από το σημείο Α και πέρα
υπερβαίνει την αντίστοιχη διατμητική τάση.

Άρα, σε κάθε σημείο, όπου είναι: $\tau/\sigma > 1$, ο κύκλος Mohr έχει
μικρότερη διάμετρο, από αυτή του διαγράμματος (βλ.σχ.7), γιατί η δια-
φορά σ_1/σ_2 ελαττώνεται (αρκού για τα σημεία αυτά είναι $\sigma_1 > \sigma_2$)
και ταυτόχρονα μετατοπίζεται στον άξονα των σ , με αποτέλεσμα την
αύξηση του συντελεστή ασφαλείας έναντι της διατμητικής αστοχίας.

ΥΠΟΛΟΓΙΣΜΟΣ ΤΩΝ ΚΑΤΑΚΟΡΥΦΩΝ ΤΑΣΕΩΝ ΣΤΗΝ ΟΡΟΦΗ ΤΗΣ ΣΗΡΑΓΓΑΣ ΚΑΤΑ ΤΗ ΘΕΩΡΙΑ Terzaghi.



Είναι: $b = 2a = D = 4,0 \text{ m}$

Σύμφωνα με τη θεωρία Terzaghi έχουμε:

$$B = b + 2 \cdot D \cdot \epsilon\phi(45^\circ - \phi/2) = 16,0 \text{ m}$$

Για $\phi = 35^\circ$, $\gamma = 2,2 \text{ tn/m}^3$, $H_1 = 58,0 \text{ m}$ και για $K = 0,5$, οι κατακόρυφες τάσεις σ_z στην οροφή της σήραγγας δίνονται από την παρακάτω εξίσωση:

$$\sigma_z = \frac{B \cdot \gamma}{2 \cdot K \cdot \epsilon\phi} \cdot (1 - e^{-2KH \cdot \epsilon\phi / a})$$

Αντικαθιστώντας έχουμε:

$$\sigma_z = \frac{16,0 \cdot 2,2}{2 \cdot 0,5 \cdot \epsilon\phi 35^\circ} \left(1 - 2,72^{-2 \cdot 0,5 \cdot 58 \cdot \epsilon\phi 35^\circ / 16,0} \right)$$

$$\sigma_z = 51,21 \text{ tn/m}^2$$

Παρατηρούμε ότι οι κατακόρυφες τάσεις σ_z που υπολογίστηκαν με τη μέθοδο Terzaghi είναι κατά πολύ μικρότερες από αυτές που υπολογίσαμε κατά την εφαρμογή της ελαστικής θεωρίας ($\sigma_z = \gamma \cdot H$). Αυτό όπως αναφέραμε και στην αρχή οφείλεται στη μείωση της ορθής δύναμης $\sigma_z = \gamma \cdot H$ εξ' αιτίας των δυνάμεων τριβής που αναπτύσσονται στα επίπεδα ολίσθησης CF και DE.

ΚΑΤΑΝΟΜΗ ΤΩΝ ΤΑΣΕΩΝ ΜΕ ΣΥΝΕΚΤΙΜΗΣΗ ΤΩΝ ΠΛΑΣΤΙΚΩΝ ΦΑΙΝΟΜΕΝΩΝ

Η υπέρβαση της αντοχής του βράχου σε εφελκυσμό, ή υπέρβαση της διατυπτικής αντοχής σε σημεία συγγεντώσεως θλιπτικών τάσεων κατά μία διεύθυνση, δημιουργούν πλαστικά φαινόμενα που μεταφέρονται σταδιακά προς το εσωτερικό της μάζας του βράχου, λόγω της αδυναμίας του καταστρεφόμενου υλικού να ανάλαβει την υπάρχουσα εντατική κατάσταση.

Έτσι δημιουργείται μία "πλαστική ζώνη", στην οποία έχουμε κατάσταση οριακής ισορροπίας της αντοχής του υλικού. Η επέκταση της πλαστικής ζώνης συνεχίζεται μέχρι απόστασης από την περίμετρο της διατομής της σήραγγας τέτοια, που η νέα εντατική κατάσταση που δημιουργείται από την ανακαταννομή των τάσεων, να είναι συμβίβαστη με την αντοχή του υλικού. (Η εξέλιξη της "πλαστικής ζώνης" στο εσωτερικό του βράχου, παρουσιάζεται στο σκ. Βα, βγ).

Γενικά οι προσεγγιστικές λύσεις, συνδέουν την έκταση της πλαστικής ζώνης, όχι μόνο με την πλαστικότητα του βράχου λόγω της υψηλής συγγεντώσεως των τάσεων, αλλά και με την επίδοση του εκρηκτικού κυματός, κατά τη διάνοιξη της σήραγγας.

Σχετική με τα πλαστικά φαινόμενα που ακολουθούν τη διάνοιξη μιας σήραγγας, είναι και η έννοια της $\chi \alpha \lambda \acute{\alpha} \rho \omega \sigma \eta \varsigma$ και της $\pi \acute{\iota} \epsilon \sigma \eta \varsigma \chi \alpha \lambda \acute{\alpha} \rho \omega \sigma \eta \varsigma$.

Η $\chi \alpha \lambda \acute{\alpha} \rho \omega \sigma \eta$ είναι το φαινόμενο βαθμιαίας δημιουργίας της πλαστικής ζώνης, σκεπώς αν υπάρχει ή όχι επένδυση στη σήραγγα, προσωρινή ή μόνιμη, ώστε να δημιουργηθεί γύρω από τη διατομή της, μια περιοχή με αδυναμία ανάληψης τάσεων.

Την έκταση της πλαστικής ζώνης καθώς και τις πιέσεις που ασκούνται στο περίβλημα μιας σήραγγας, λόγω του ιδίου βάρους του βράχου, επηρεάζουν διάφοροι παράγοντες. Εκτός από τις διαστάσεις και το σχήμα της σήραγγας και τα μηχανικά χαρακτηριστικά του βράχου, ιδιαίτερη σημασία έχουν, ο τρόπος διάνοιξης και τα χρησιμοποιούμενα εκρηκτικά, γεωλογικοί παράγοντες (όπως π.χ. η στρωσιγένεια), ακόμα και ο χρόνος κατασκευής της προσωρινής υποστήριξης και της επένδυσης.

ΚΑΤΑΝΟΜΗ ΤΩΝ ΤΑΣΕΩΝ ΣΕ ΣΗΡΑΓΓΑ ΟΠΟΙΑΣΔΗΠΟΤΕ ΔΙΑΤΟΜΗΣ

Ο προσδιορισμός του συντελεστή συγκεντρώσεως των τάσεων σε σήραγγα με διατομή που, ούτε κατά προσέγγιση, δεν μπορεί να θεωρηθεί κυκλική ή ελλειπτική ή ορθογωνική, γίνεται με τη μέθοδο των πεπερασμένων στοιχείων ή με τη φωτοηλεκτρική μέθοδο. Στην τελευταία περίπτωση, για τον πειραματικό προσδιορισμό των τάσεων, κατασκευάζεται ομοίωμα της σήραγγας, το οποίο υποβάλλεται σε μονοαξονικό πεδίο ομοιομόρφου πίεσης, διαδοχικά, κατά την κατακόρυφη και την οριζόντια διεύθυνση. Τα αποτελέσματα επιπροσθέτονται, παίρνοντας υπ' όψη τον συντελεστή ώθησης K .

ΣΧΟΛΙΑ ΚΑΙ ΠΑΡΑΤΗΡΗΣΕΙΣ

(Α) Η εντατική κατάσταση γύρω από μια σφραγγα, είναι ανεξάρτητη από το μέτρο ελαστικότητας E του βράχου και, τουλάχιστον άμεσα, ανεξάρτητη του λόγου του Poisson μ .

(Β) Η εντατική κατάσταση εξαρτάται άμεσα από την τιμή του συντελεστή K στη ω -πλάση εν ηρεμία K και από τη σχέση των διαστάσεων της διατομής. Ο συντελεστής K , για πετρώματα με οριζόντια στρωσιγένεια και αμετάβλητες διαστάσεις κατά την οριζόντια έννοια, εκφράζεται συναρτήσει του μ : $K = \mu / (1 - \mu)$. Η σχέση αυτή δεν έχει απόλυτη εφαρμογή, καθώς και η ιστορία των φορτίσεων του πετρώματος, και άλλοι γεωλογικοί παράγοντες επηρεάζουν την τιμή του. Για πολύ μεγάλα άσθη, ή για πετρώματα με ισχυρή προφόρτιση, η τιμή του K πλησιάζει το 1 ενώ, κοντά στην επιφάνεια του εδάφους, παίρνει τιμές που πλησιάζουν το 0.

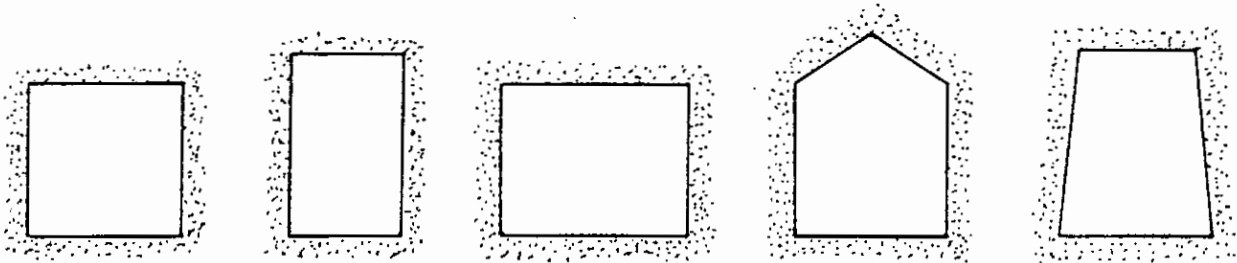
(Γ) Οι αναλυτικές σχέσεις που δίνουν τις τάσεις σε πολικές συντεταγμένες (κατά KIRSH, βλ. σχέσεις (1), (2), (3)), έχουν εξαχθεί με τη βοήθεια της μαθηματικής θεωρίας της ελαστικότητας, έχοντας σαν μηχανικό πρότυπο την εντατική κατάσταση, γύρω από την οπή ενός δίσκου, φορτιζόμενου ανάλογα. Η οριζόντια τάση, κατά τη διεύθυνση του άξονα της σφραγγας, είναι: $\sigma_{H\gamma} = \mu \cdot (\sigma_{\nu} + \sigma_{\eta\kappa})$, όπου μ : ο λόγος του Poisson, $\sigma_{\eta\kappa}$: η οριζόντια και σ_{ν} : η κατακορυφή τάση στο επίπεδο της διατομής.

(Δ) Για την περίπτωση που η σφραγγα είναι επένδυση, η ακαμψία της επένδυσης, παίζει καθοριστικό ρόλο στις παραμορφώσεις, τόσο της ίδιας, όσο και του περιβάλλοντος βράχου, πράγμα που οδηγεί στη διαφορετική κατανομή των τάσεων. Για κυκλική σφραγγα με επένδυση, οι ακτινικές τάσεις γενικά αυξάνουν, ενώ οι εφαπτευτικές μειώνονται στην περιοχή της οροφής, γεγονός που είναι ευνοϊκό για την αντοχή του βράχου.

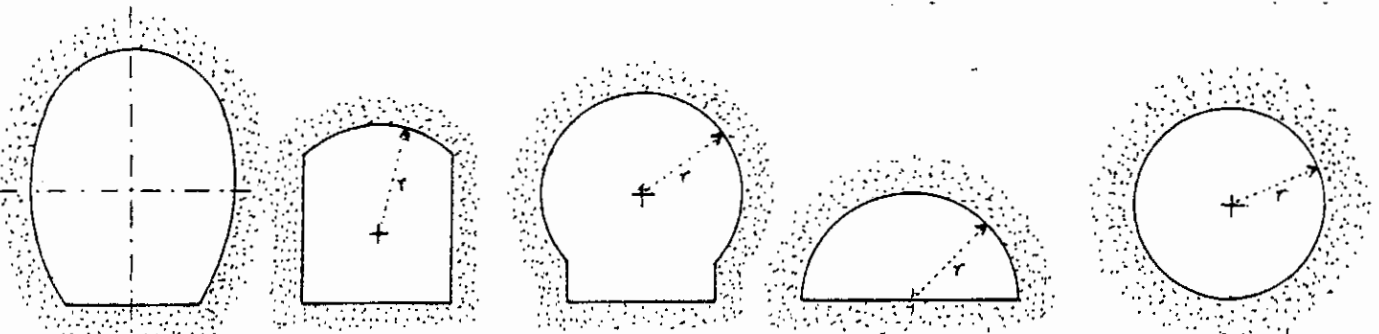
Για επένδυση μεσης ακαμψίας, η κατανομή των τάσεων είναι σχεδόν ομοιόμορφη.

(Ε) Από τη μελέτη της κατανομής των τάσεων σε σφραγγες, με βάση την θεωρία της ελαστικότητας, διαπιστώνουμε ότι στην οροφή της σφραγγας, για ορισμένες τιμές του συντελεστή K , εμφανίζονται εφελκυστικές τάσεις.

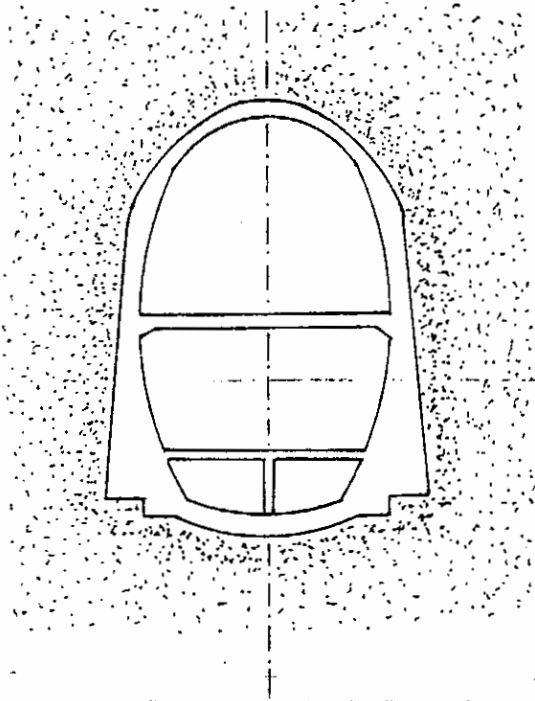
ΣΧΕΔΙΑ - ΔΙΑΓΡΑΜΜΑΤΑ



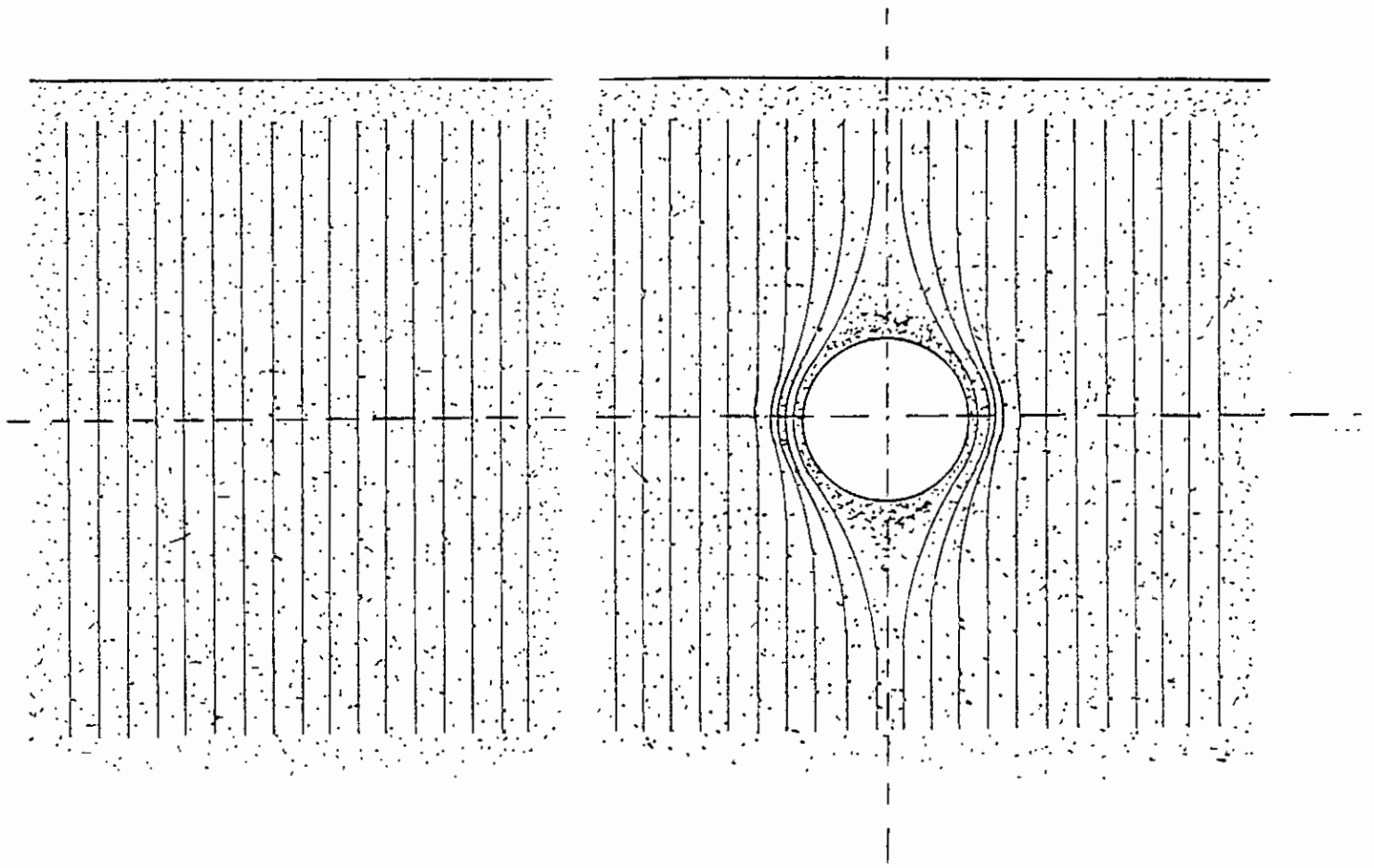
Σχ.1α Διατομές σπραγγών με ευθύγραμμες πλευρές



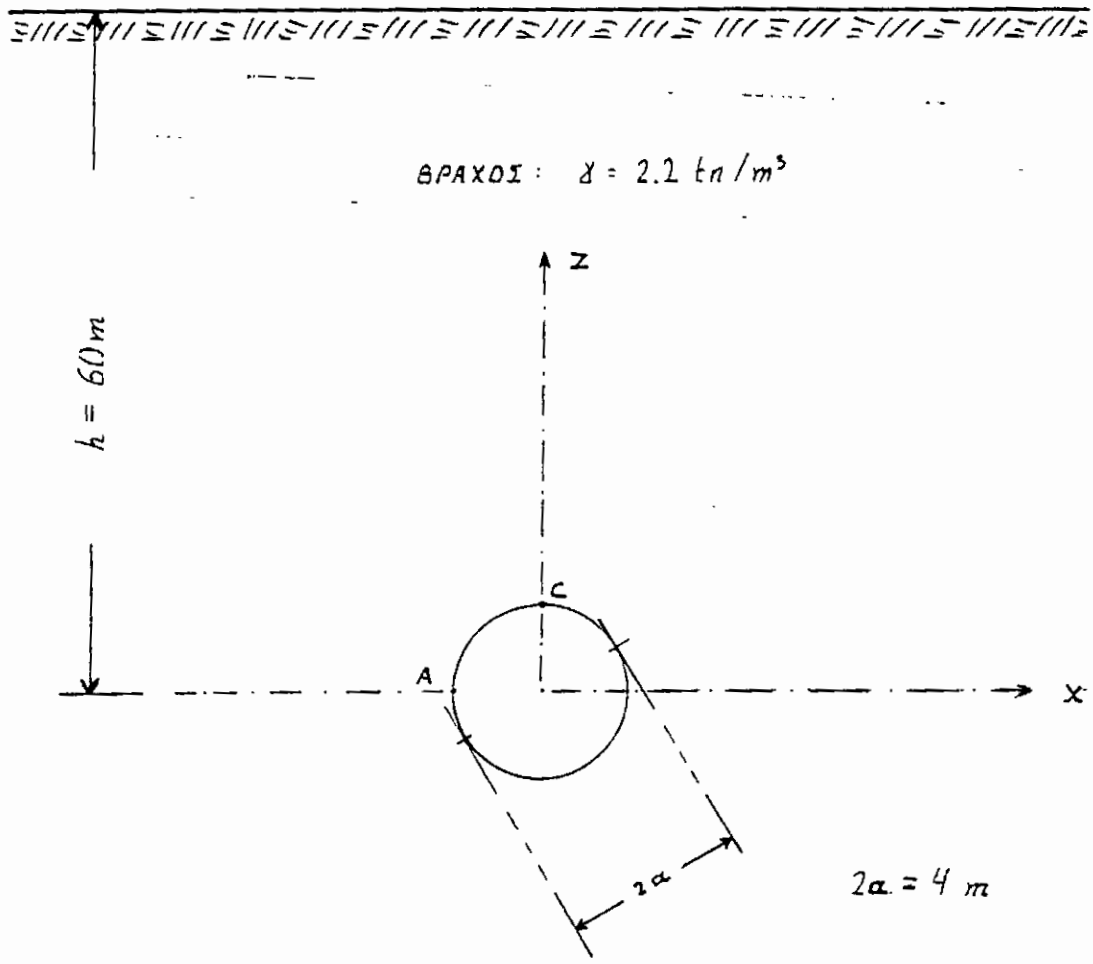
Σχ.1β Διατομές σπραγγών με τόξα ελλείψεως και τόξα κύκλου



Σχ.1γ Ομοίωμα της σπραγγας
Lisa Pass στην Ιταλία.



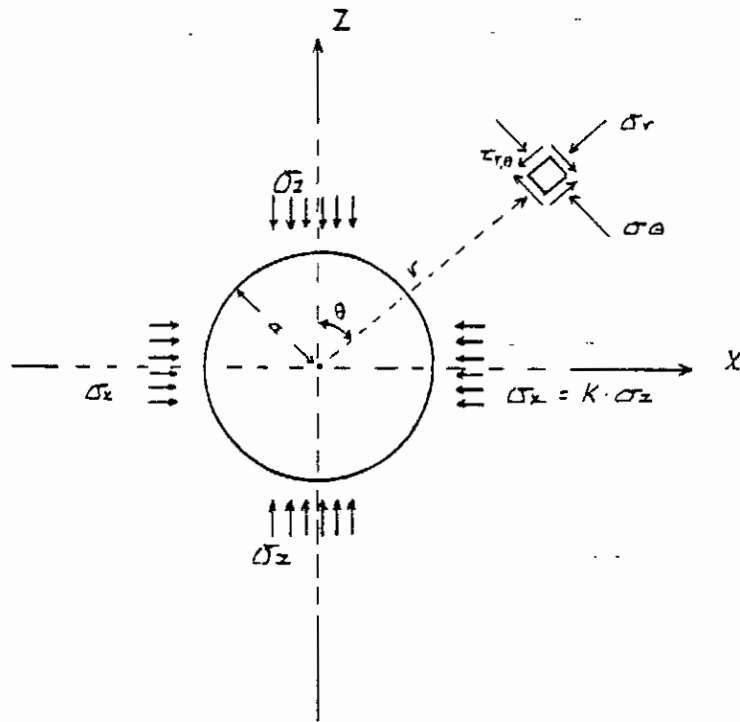
Σχ.2 Σχηματική παράσταση των τροχιών των θλιπτικών τάσεων πριν και μετά την εκσκαφή κυκλικής σήραγγας



Σχ. 3

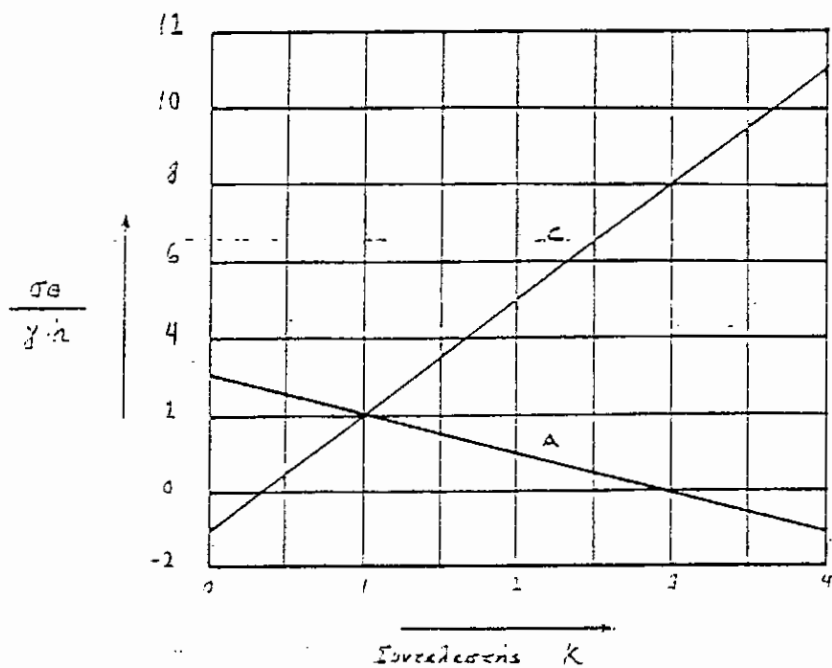
Εφαρμογή:

Διάνοιξη σήραγγας κυκλικής διατομής, σε μεγάλο βάθος, εντός ελαστικού και ισότροπου βράχου.



-Σκ. 4

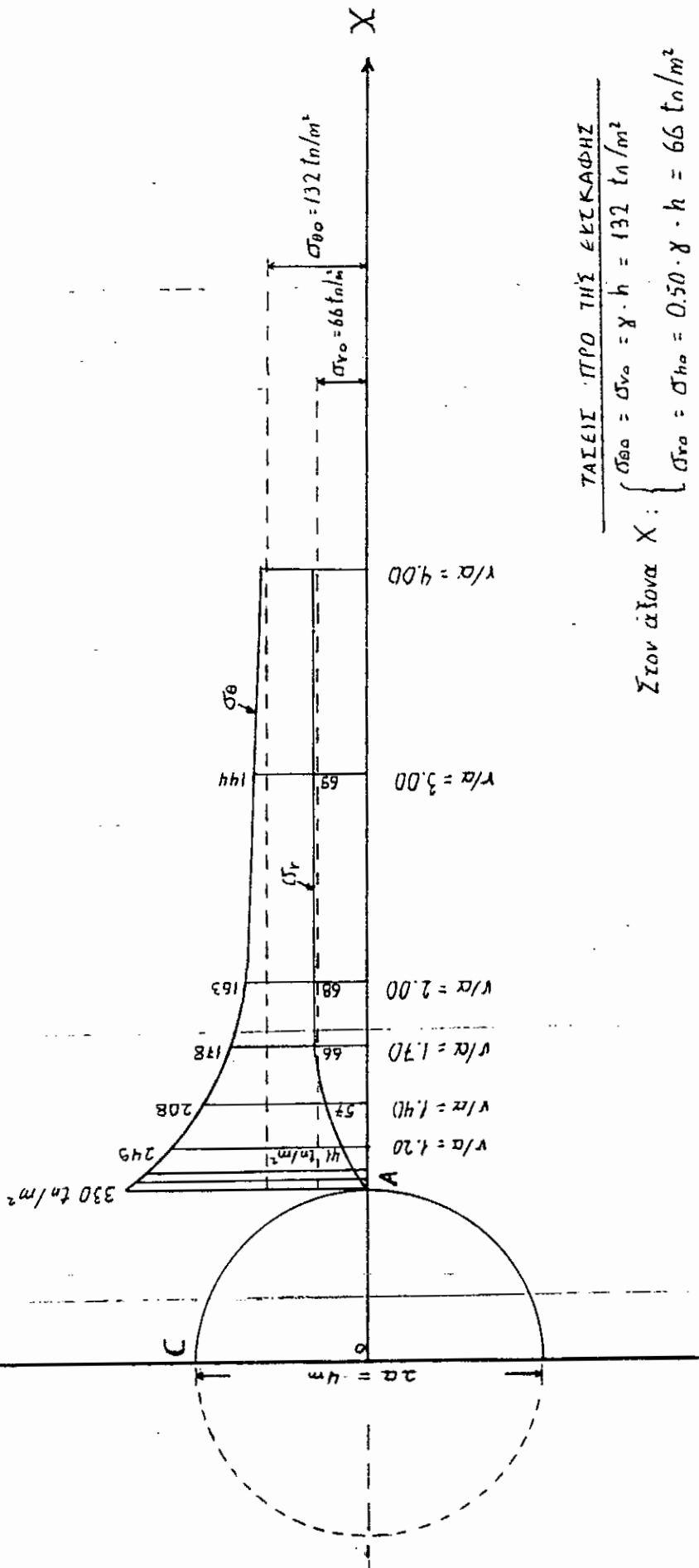
Τάσεις, γύρω από την κυκλική διατομή της σπείρας, σε σύστημα πολικών συντεταγμένων r και θ , κατά KIRSH.



Σχ.5

Επίλυση κατά Terzaghi και Richart, 1952:

Γραφική παράσταση των εξισώσεων (10) και (11) για διάφορες τιμές του συντελεστή ουδέτερης ωθήσεως K .

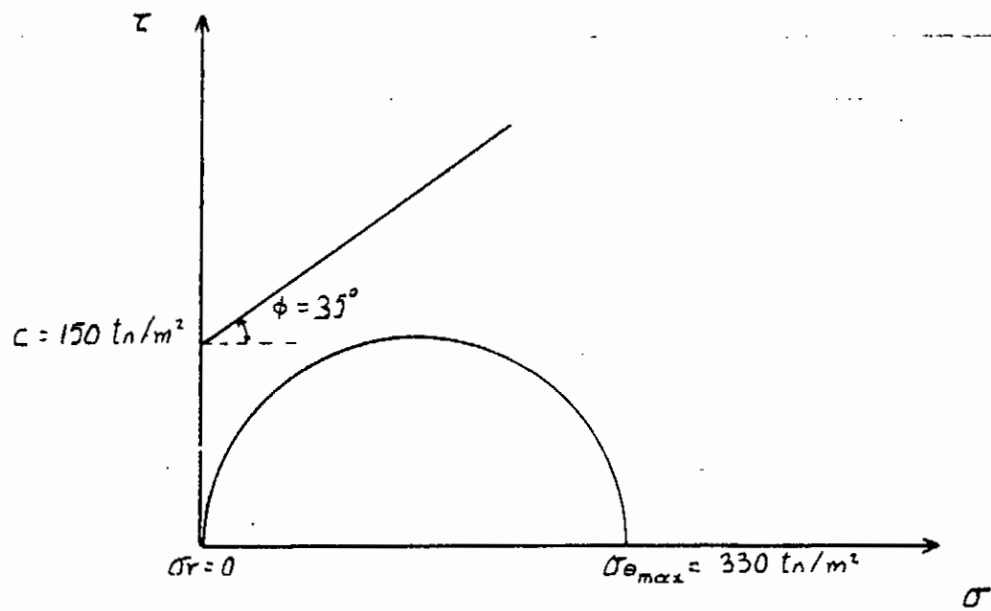


ΤΑΣΕΙΣ ΠΡΟ ΤΗΣ ΕΚΚΑΦΗΣ

Στον άξονα X: $\begin{cases} \sigma_{00} = \sigma_{\gamma_0} = \gamma \cdot h = 132 \text{ tn/m}^2 \\ \sigma_{\gamma_0} = \sigma_{h_0} = 0.50 \cdot \gamma \cdot h = 66 \text{ tn/m}^2 \end{cases}$

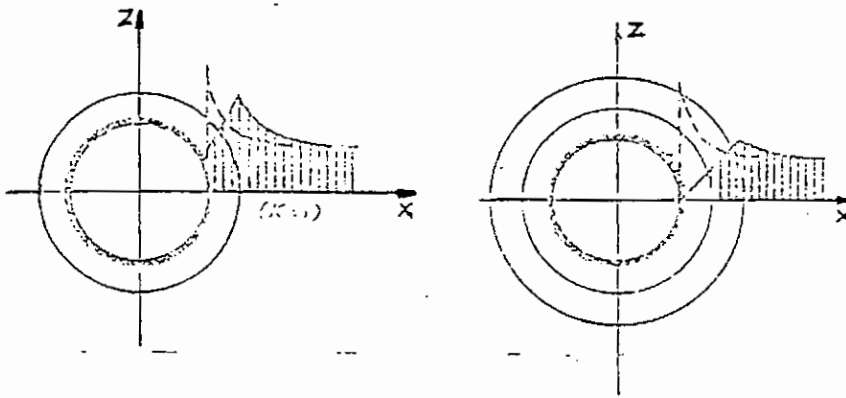
Σχ.6

Διάγραμμα της κατανομής των τάσεων σ_{θ} και σ_{γ} , γύρω από την κυκλική διατομή κατά τον άξονα X (καταρτην κατά Kerisel)

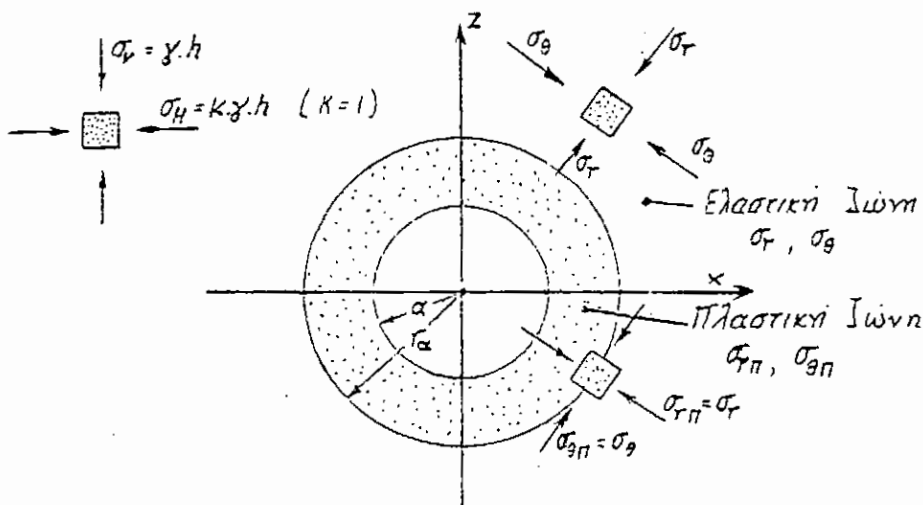


Ex. 7

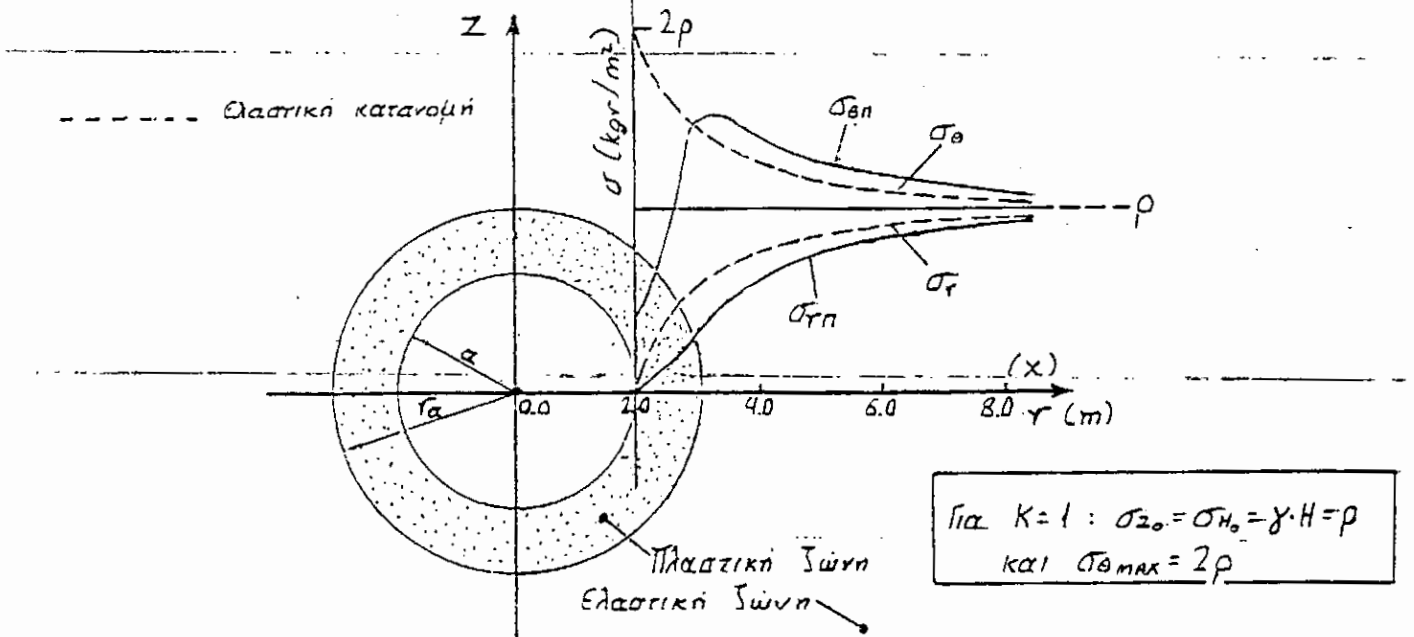
Διάγραμμα Mohr - Coulomb



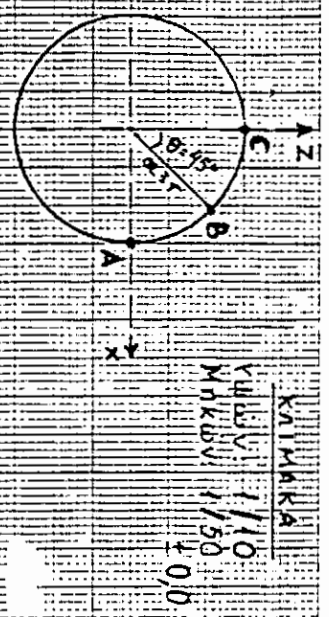
Σχ. 8α Εξέλιξη της πλαστικής ζώνης στο εσωτερικό του βράχου



Σχ. 8β Διάκριση της ελαστικής από την πλαστική ζώνη γύρω από μια κυκλική διατομή



Σχ. 8γ Κατανομή των τάσεων στην πλαστική και



$\sigma_a = \gamma \cdot H \cdot (3 - K)$
 $\sigma_b = \gamma \cdot H \cdot (K + 1)$
 $\sigma_c = \gamma \cdot H \cdot (3K - 1)$

βάθος $H = -80 \text{ m}$
 -600

Κλίμακα
 Κλίμακα 1/10
 Μηνύδα 1/50
 1,00

Αποστάσεις από άξονα	(m)	0,0	100,0	200,0	300,0	400,0	500,0	600,0	700,0	800,0
Βάθος έστρωσης άξονα και έπιπέδου έδαφους	(cm)	0,0				60,0				
Μάρβλη	(α/β)		1	2	3	4	5	6	7	8
Φαινόμενο έδαφος βάθος έπιπέδου έδαφους				$\gamma = 2,5 \text{ tn/m}^3$				Αργιλλικό έδαφος $\gamma = 1,8 \text{ tn/m}^3$		
Συντελεστής οδότητας υδροστατικής	K		1	2/3	1/3	1/4	1	2/3	1/3	1/4
Εδαμολογία τσάν σε όση βίρα	A									
	B									
	C									
		300,0	150,0		0,0	-37,5	216,0	108,0	0,0	-27,0
		300,0	250,0		0,0	187,5	216,0	180,0		135,0
		300,0	350,0		0,0	412,5	216,0	252,0		297,0

ΜΗΚΟΤΟΜΗ	έπιπέδου	έδαφους	έπιπέδου	έδαφους	έπιπέδου	έδαφους	έπιπέδου	έδαφους
		$\gamma = 2,5 \text{ tn/m}^3$		$\gamma = 1,8 \text{ tn/m}^3$				